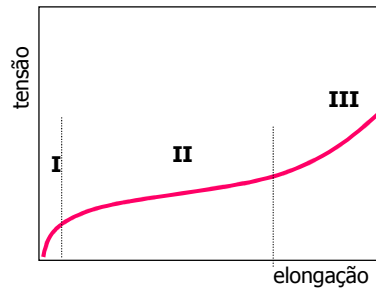


V. Elasticidade da Borracha

V.1. Definição

Um material é considerado uma borracha ou elastômero, quando é capaz de sofrer um grande deformação e depois retornar às dimensões originais.

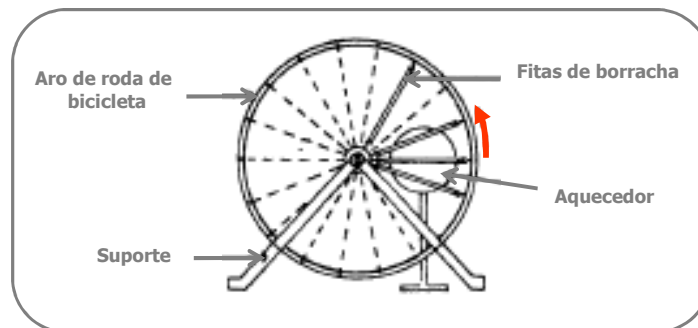


1

V.2. Aspectos fenomenológicos

Gough, 1805:

- Uma tira de borracha aquece quando estirada.
- O comprimento de uma tira submetida a uma carga diminui com o aumento da temperatura.



2

Borrachas *versus* outros materiais

Força necessária para causar uma deformação de 1%:

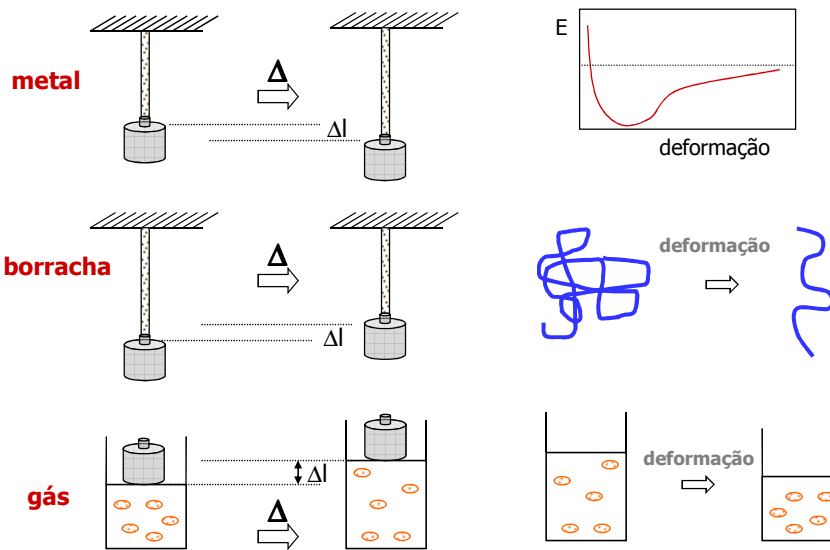
- Metal 16 N
- Borracha 0,0001 N

Substância	$\alpha \times 10^3$ ($^{\circ}\text{C}$) ⁻¹	β cm ² /dina
Gases	4	$1,0 \times 10^{-6}$
n-hexano	1,1	16×10^{-11}
Borracha	0,66	$5,1 \times 10^{-11}$
Ferro	0,03	$7,0 \times 10^{-13}$

α = Coeficiente de expansão térmica
 β = Coeficiente de compressibilidade isotérmica

3

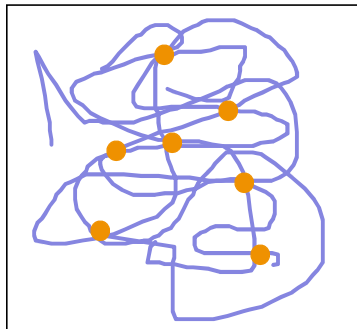
Comportamento elástico



4

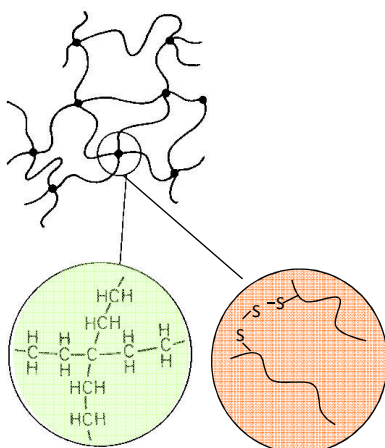
Condições para a elasticidade:

- ❑ **Cadeias com alta massa molar e alta flexibilidade**
- ❑ **As cadeias devem estar ligadas umas às outras, formando uma estrutura do tipo rede**



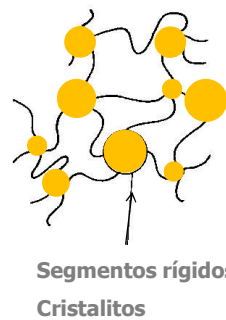
5

Rede permanente



Poli(cis-isopreno); polibutadieno

Elastômero termoplástico



SBS, poliuretanas termoplásticas

6

V.3. Termodinâmica da elasticidade

V.3.1. Termodinâmica Clássica

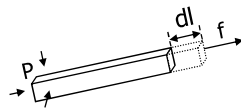
Joule e Thomson:

$$1^{\text{a}} \text{ lei da termodinâmica: } dU = dQ + dw \quad (1)$$

U = energia interna

Q = calor liberado

W = trabalho realizado pela borracha durante a deformação



$$dw = fdl - pdV \quad (2)$$

$$dQ = TdS \quad (3)$$

(2) e (3) em (1):

$$dU = TdS + fdl - PdV \quad (4)$$

$$\text{Borracha: } \Delta V \approx 0 \Rightarrow dU = TdS + fdl$$

7

Para experimentos a pressão constante.....

$$\text{Energia livre de Gibbs: } G = H - TS = U + PV - TS \quad (5)$$

$$dG = dU + PdV + VdP - TdS - SdT \quad (6)$$

Combinando (4) e (6):

$$dG = TdS + fdl - PdV + PdV + VdP - TdS - SdT$$

$$dG = fdl + VdP - SdT \quad (7)$$

Da equação (7): $G = f(l, P, T)$

$$dG = \left(\frac{\partial G}{\partial l} \right)_{P,T} dl + \left(\frac{\partial G}{\partial P} \right)_{T,l} dP - \left(\frac{\partial G}{\partial T} \right)_{P,l} dT \quad (8)$$

Comparando as equações (7) e (8):

$$\left(\frac{\partial G}{\partial l} \right)_{P,T} = f \quad \left(\frac{\partial G}{\partial T} \right)_{P,l} = -S \quad \left(\frac{\partial G}{\partial P} \right)_{T,l} = V$$

8

Regra de Schwarz:

$$\left(\frac{\partial}{\partial T} \left(\frac{\partial G}{\partial l} \right)_{P,T} \right)_{l,P} = \left(\frac{\partial f}{\partial T} \right)_{l,P} = \left(\frac{\partial}{\partial l} \left(\frac{\partial G}{\partial T} \right)_{l,P} \right)_{T,P} = - \left(\frac{\partial S}{\partial l} \right)_{T,P} \quad (9)$$

Derivando a equação (5) com respeito a l :

$$\left(\frac{\partial G}{\partial l} \right)_{T,P} = \left(\frac{\partial H}{\partial l} \right)_{T,P} - T \left(\frac{\partial S}{\partial l} \right)_{T,P} = f \quad (10)$$

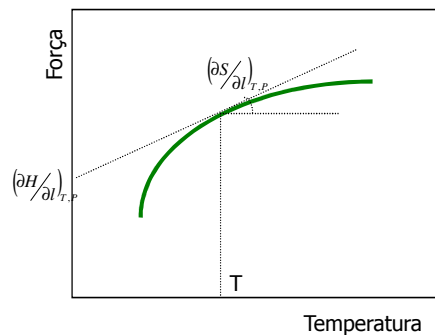
Combinando com (9):

$$\left(\frac{\partial G}{\partial l} \right)_{T,P} = \left(\frac{\partial H}{\partial l} \right)_{T,P} + T \left(\frac{\partial f}{\partial T} \right)_{l,P} = f \quad (11)$$

Similar a equação para gases:

$$\left(\frac{\partial G}{\partial V} \right)_T = \left(\frac{\partial U}{\partial V} \right)_T + T \left(\frac{\partial P}{\partial T} \right)_V = P$$

9



$$\left(\frac{\partial G}{\partial l} \right)_{T,P} = \left(\frac{\partial H}{\partial l} \right)_{T,P} + T \left(\frac{\partial f}{\partial T} \right)_{P,l} = f$$

Borracha ideal:

$$\left(\frac{\partial H}{\partial l} \right)_{T,P} = 0$$



$$f = T \left(\frac{\partial f}{\partial T} \right)_{P,l} \quad (12)$$

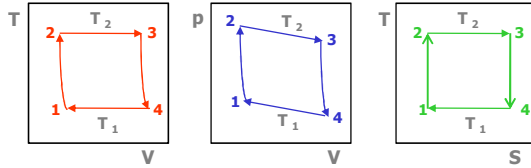


(todas as conformações são energeticamente iguais e não há alteração de volume com a deformação!)

10

Ciclo de Carnot

Aplicado a gases



$$U_{1 \rightarrow 2} = - \int_{V_1}^{V_2} PdV$$

$$U_{2 \rightarrow 3} = T_2 \Delta S - \int_{V_2}^{V_3} PdV$$

$$U_{3 \rightarrow 4} = - \int_{V_3}^{V_4} PdV$$

$$U_{4 \rightarrow 1} = -T_1 \Delta S - \int_{V_4}^{V_1} PdV$$

$$U = Q + w$$

$$\Delta U_{ciclo} = U_{1 \rightarrow 2} + U_{2 \rightarrow 3} + U_{3 \rightarrow 4} + U_{4 \rightarrow 1}$$

$$\Delta U_{ciclo} = Q_{1 \rightarrow 2} + w_{1 \rightarrow 2} + Q_{2 \rightarrow 3} + w_{2 \rightarrow 3} + Q_{3 \rightarrow 4} + w_{3 \rightarrow 4} + Q_{4 \rightarrow 1} + w_{4 \rightarrow 1} = 0$$

$$w_{1 \rightarrow 2} + w_{2 \rightarrow 3} + w_{3 \rightarrow 4} + w_{4 \rightarrow 1} + Q_{4 \rightarrow 1} = 0$$

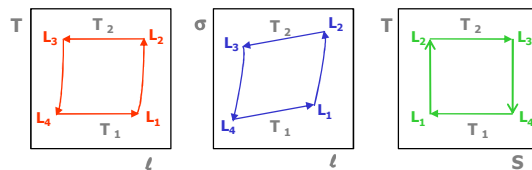
$$Q_{2 \rightarrow 3} + Q_{4 \rightarrow 1} = -w_{1 \rightarrow 2} - w_{2 \rightarrow 3} - w_{3 \rightarrow 4} - w_{4 \rightarrow 1}$$

$$Q_{ciclo} = -w_{ciclo}$$

11

Ciclo de Carnot

Aplicado a borrachas

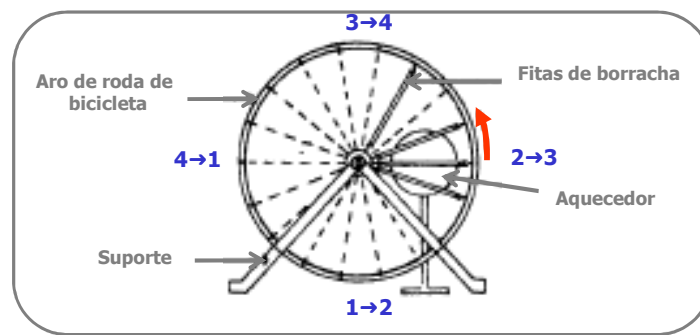


$$U_{1 \rightarrow 2} = - \int_{l_1}^{l_2} \alpha dl$$

$$U_{2 \rightarrow 3} = T_2 \Delta S - \int_{l_2}^{l_3} \alpha dl$$

$$U_{3 \rightarrow 4} = - \int_{l_3}^{l_4} \alpha dl$$

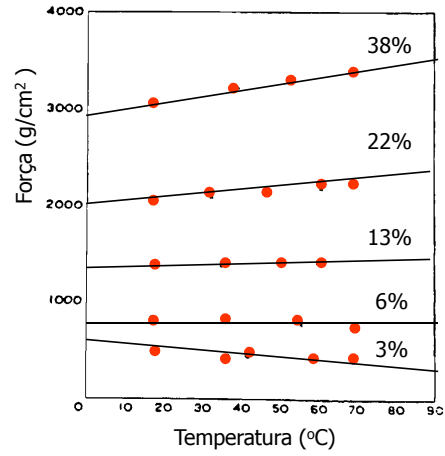
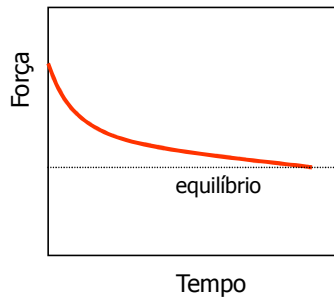
$$U_{4 \rightarrow 1} = -T_1 \Delta S - \int_{l_4}^{l_1} \alpha dl$$



12

V.3.1.1. Resultados Experimentais

Ensaio de relaxação de tensão



Borracha natural vulcanizada

13

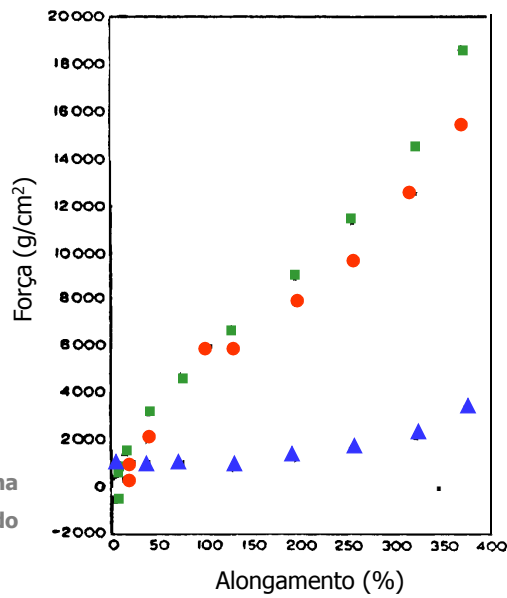
Para borrachas reais:

$$\lim_{T \rightarrow 0} \left(\frac{\partial H}{\partial l} \right)_{T,P} = 0$$



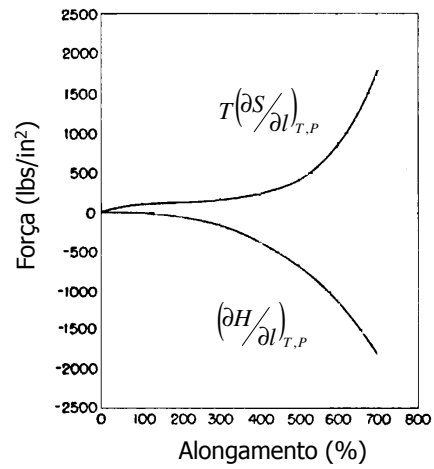
$$f = T \left(\frac{\partial f}{\partial T} \right)_{P,l}$$

(■) Força; (▲) $(\partial H / \partial L)_{T,P}$
 (●) $-T(\partial S / \partial L)_{T,P}$ para borracha natural vulcanizada em função do alongamento a 20°C.



14

Componentes da força de retração



15

V.3.2. Caracterização de uma rede



Os pontos de reticulação ou nós estão espalhados aleatoriamente

Parâmetros utilizados para caracterizar uma rede:

- Densidade de reticulação - ν
- Fração de unidades estruturais envolvidas na reticulação - ρ
- Fração de unidades em cadeias terminais livres - ρ_t
- Funcionalidade do reticulante

16

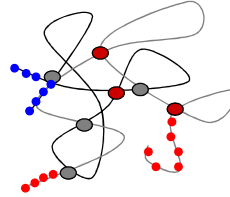
Dado N_0 unidades iniciais, tem-se após a reticulação:

- Número de unidades ligadas a rede por um ponto ou moléculas primárias, N :

$$N = \frac{N_0 \rho_t}{2}$$

Em termos de massa molar:

$$N = \frac{N_0 M_0}{M}$$



- Número de unidades envolvidas na reticulação: $\nu = N_0 \rho$

Assumindo v_{sp} como sendo o volume específico do polímero e V o volume total:

$$N = \frac{V}{v_{sp} M} \quad (13)$$

$$\nu = N_0 \frac{M_0}{M_c} \quad (14)$$

Onde: M = massa molecular média das moléculas primárias

M_0 = massa molar da unidade estrutural

M_c = massa molar por unidade reticulada

17

Rede ideal: não há cadeias terminais livres
massa molar = ∞

Rede real: há cadeias terminais livres (Não contribuem para a elasticidade)
há a formação de ciclos
há entrelaçamento

$$\nu_e = \nu - 2N = \nu(1 - 2N/\nu)$$

$$\nu_e = \nu \left(\frac{1 - 2M_c}{M} \right) \quad (15)$$

18

V.3.3. Termodinâmica Estatística

Deformação macroscópica: $\left(\frac{\partial G}{\partial l}\right)_{P,T} = f = \left(\frac{\partial G}{\partial r}\right)_{P,T}$: Deformação molecular

Assume:

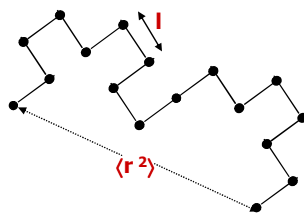
- Cadeias longas capazes de assumir infinitas conformações.
- Densidade de reticulação baixa (não interfere na mobilidade das cadeias).
- Cadeias tendem a assumir conformações que maximizam a entropia.

Estratégia para a descrição do comportamento elástico:

- Cálculo da entropia conformacional de cadeias em repouso (S_R).
- Cálculo da entropia conformacional de cadeias em função da deformação da rede (S_D)
- Cálculo da variação de entropia conformacional: $\Delta S_{\text{conformacional}} = S_D - S_R$

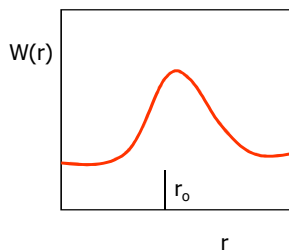
19

V.3.3.1. Entropia Conformacional

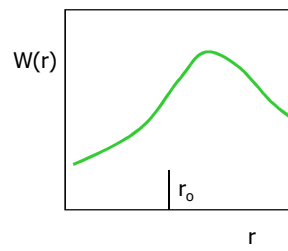


Distância média quadrática de ponta a ponta de cadeia:

$$\langle r^2 \rangle = nl^2 \quad (16)$$



Deformação



20

Modelo para o cálculo da entropia conformacional

1. Molécula simples:

- Rotação livre de ligações
- Não há restrições de ângulo de ligação

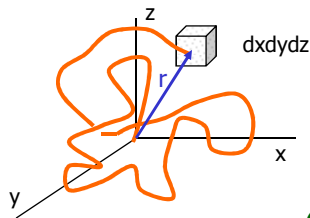
2. Rede:

- Constituída de ν cadeias internas
- Cada cadeia na rede comporta-se como no estado não reticulado
- $\langle r^2 \rangle$ das cadeias internas = $\langle r^2 \rangle$ das cadeias livres de mesmo comprimento
- As componentes do vetor "r" mudam com a deformação

21

Modelo Affine

1º Passo: Cálculo da entropia conformacional de uma cadeia livre



Probabilidade que o vetor "r" se desloque no espaço $dx dy dz$:

$$W(x, y, z) dx dy dz = \left(\frac{\beta}{\pi^{1/2}} \right)^3 e^{-\beta^2 r^2} dx dy dz \quad (18)$$

(Função de distribuição)

Com: $\beta^2 = \frac{3}{2nl^2} = \frac{3}{2r_o^2}$ $r^2 = x^2 + y^2 + z^2$

r_o^2 = dimensões das cadeias não-deformadas

Tem-se:
$$W(r) dr = \left(\frac{\beta}{\pi^{1/2}} \right)^3 e^{-\beta^2 r^2} 4\pi r^2 dr \quad (19)$$

22

Entropia: $S = k \ln \Omega$ (20)

Onde Ω é o número de conformações possíveis para uma cadeia com distância média quadrática de ponta a ponta igual a $\langle r^2 \rangle$.

Para uma distância $\langle r^2 \rangle$:

$$\Omega = \left(\frac{\beta}{\pi^{1/2}} \right)^3 e^{-\beta^2 r^2} \quad (21)$$

Combinando (20) e (21):

$$S = k \ln \left[\left(\frac{\beta}{\pi^{1/2}} \right)^3 e^{-\beta^2 r^2} \right] \quad (22)$$

$$S = C - k\beta^2 r^2 \quad (23)$$

$$\left(\frac{\partial G}{\partial l} \right)_{P,T} = f = \left(\frac{\partial G}{\partial r} \right)_{P,T} \approx \left(\frac{\partial S}{\partial r} \right)_{P,T}$$

$$f = -kT \left(\frac{\partial \ln \Omega}{\partial r} \right)_{P,T} = -2\beta^2 r = \frac{3kTr}{r_0^2} \quad (24)$$

23

2º Passo: Cálculo da entropia conformacional da rede deformada

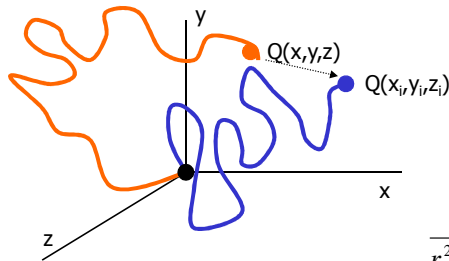
Uma cadeia "i" na rede

Antes da deformação:

$$\frac{x_i}{\alpha_x}, \frac{y_i}{\alpha_y}, \frac{z_i}{\alpha_z}$$

Sob deformação:

$$x_i, y_i, z_i$$



(Razão de extensão: $\alpha = \lambda$)

$$x_i = x \alpha_x$$

$$\overline{r^2} = \frac{1}{3} (\alpha_x^2 + \alpha_y^2 + \alpha_z^2) \overline{r_i^2} \quad (25)$$

$$\overline{r_i^2} \approx \overline{r_0^2}$$

Para um segmento de cadeia entre os nós de uma rede

Para uma cadeia livre

Trabalho realizado pela borracha reticulada: $-w = \Delta G_{el}$ (26)

24

Combinando (24) e (26), tem-se para "v" cadeias:

$$f = \left(\frac{\partial G}{\partial r} \right)_{P,T} \Rightarrow \Delta G_{el} = \frac{3\nu RT}{r_o^2} \int_{\left(\frac{r}{r_o}\right)^2}^{\left(\frac{r}{r_o}\right)^2} r dr$$

Integrando e substituindo pela equação (25):

$$\Delta G_{el} = \frac{\nu RT}{2} \frac{r_i^2}{r_o^2} (\alpha_x^2 + \alpha_y^2 + \alpha_z^2 - \alpha_{x_o}^2 - \alpha_{y_o}^2 - \alpha_{z_o}^2) \quad (27)$$

Onde : $\alpha_{x_o}^2 = \alpha_{y_o}^2 = \alpha_{z_o}^2 = 1$ (28) Não deformado!!!

Assumindo a razão de Poisson, κ , como sendo 1/2 (sólido incompressível):

$$\alpha_x \cdot \alpha_y \cdot \alpha_z = 1$$

No caso de deformação unidirecional: $\alpha_y = \alpha_z = 1/\alpha^{1/2}$ (29)

25

Combinando (27), (28) e (29): $\Delta G_{el} = \frac{\nu RT}{2} \left(\alpha^2 + \frac{2}{\alpha} - 3 \right)$ (30)

$$f = \left(\frac{\partial G}{\partial l} \right)_{T,P} = \left(\frac{\partial G}{\partial \alpha} \right)_{T,P} \left(\frac{\partial \alpha}{\partial l} \right)_{T,P} = \frac{\partial \left[\frac{\nu RT}{2} \left(\alpha^2 + \frac{2}{\alpha} - 3 \right) \right]}{\partial \alpha} \cdot \frac{\partial}{\partial l} \left(\frac{l}{l_o} \right)$$

$$f = \frac{\sigma \cdot A_o}{\alpha} = \frac{\nu RT}{l_o} \left(\alpha - \frac{1}{\alpha^2} \right)$$

$$\sigma = \frac{\nu RT}{V_o} \left(\alpha^2 - \frac{1}{\alpha} \right) \quad (31)$$

Considerando as equações (13), (14) e (15):

$$\sigma = \frac{RT}{\nu_{sp} M_c} \cdot \frac{1 - 2M_c}{M} \cdot \left(\alpha^2 - \frac{1}{\alpha} \right) \quad (32)$$

Tensão depende de três fatores:

- Temperatura ($\uparrow T \Rightarrow \uparrow \sigma$)
- Fator estrutural (ν/V e M_c)
- Fator deformação (α)

26

A partir desta relação, várias outras podem ser obtidas:

Módulo de Young:

$$E = L \left(\frac{\partial \sigma}{\partial l} \right)_{T,P} \Rightarrow E = \nu RT \left(2\alpha^2 - \frac{1}{\alpha} \right) \cong 3\nu RT$$

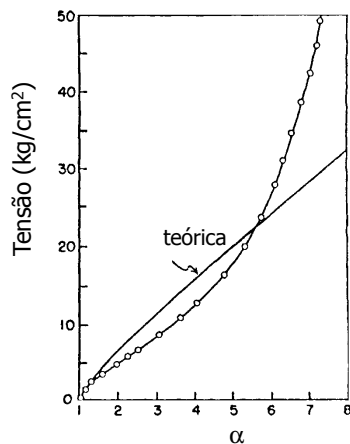
Módulo de Cisalhamento:

$$G = \frac{E}{2(1+\nu)}$$

$$G = \nu RT \Rightarrow \sigma = G \left(\alpha - \frac{1}{\alpha^2} \right)$$

27

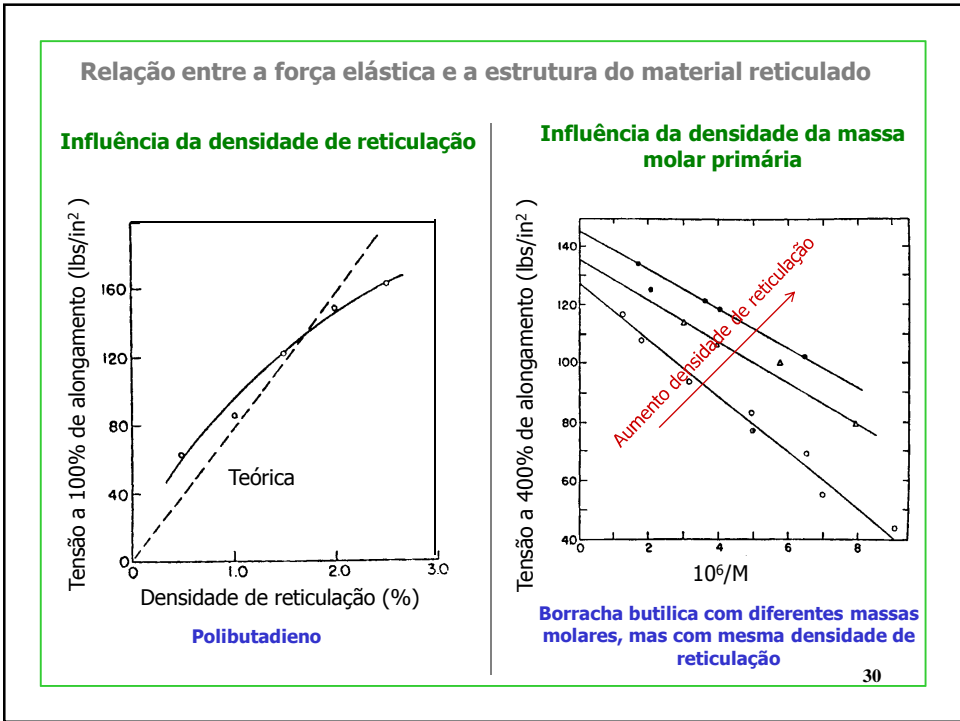
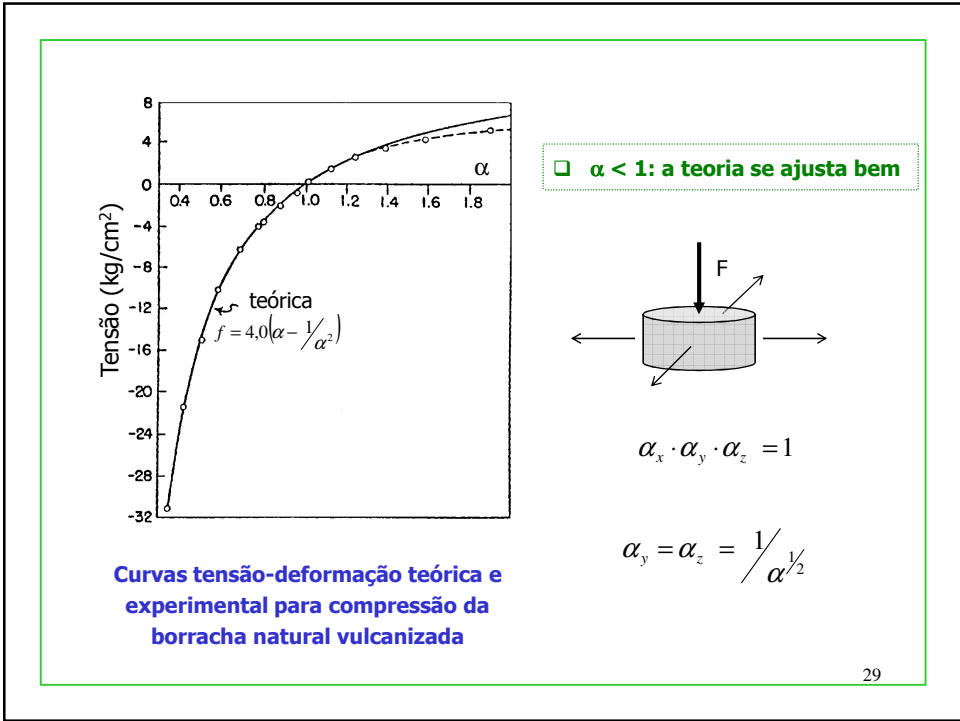
V.3.3.2. Comportamento de borrachas vulcanizadas



Curvas tensão-deformação teórica e experimental para tração de borracha natural vulcanizada

- **Baixos valores de α :**
boa concordância entre a teoria e os dados experimentais.
- **Acima de $\alpha = 5, 6$:**
acentuado desvio entre os dados experimentais e a teoria: cristalização.
- **Parte das discrepâncias observadas**
entre dados experimentais e a teoria
podem ser atribuídos às condições
experimentais e quase-equilíbrio .

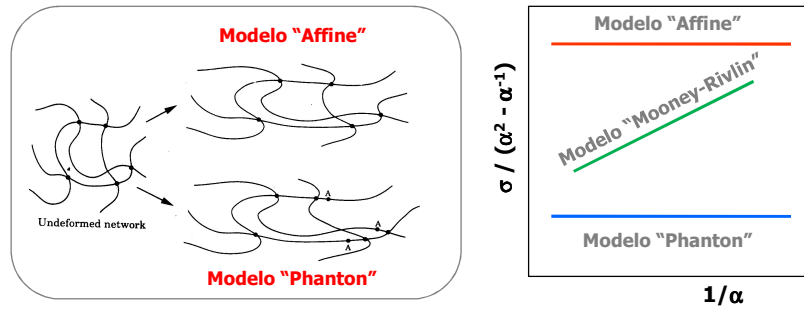
28



Modelo Phantom

- ❑ Moléculas tem secção transversal = 0
- ❑ Os nós de reticulação flutuam no espaço e sob deformação esta flutuação é assimétrica, minimizando a deformação macroscópica imposta.
- ❑ Neste caso a tensão deve ser diminuída por um fator $K < 1$.

$$\sigma = K \frac{\nu RT}{V_0} \left(\alpha^2 - \frac{1}{\alpha} \right)$$



31

V.4. Descrição Macroscópica da Elasticidade da Borracha

V.4.1. Equação de Mooney-Rivlin

$$\sigma = 2C_1 \left(\alpha - \frac{1}{\alpha^2} \right) + 2C_2 \left(1 - \frac{1}{\alpha^3} \right) \quad (33)$$

$$\sigma = \left(2C_1 + \frac{2C_2}{\alpha} \right) \left(\alpha - \frac{1}{\alpha^2} \right)$$

Da equação (31) e (33):

$$\sigma = \frac{\nu RT}{V} \left(\alpha - \frac{1}{\alpha^2} \right) \quad (31)$$

$$C_1 = \frac{1}{2} \frac{\nu RT}{V} \quad (34)$$



(Expressão para uma rede ideal)

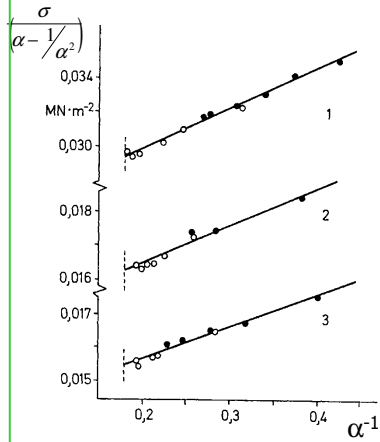
C_2 é uma correção que pode estar associada a:

1. impedimento estérico
2. vizinhança dos segmentos

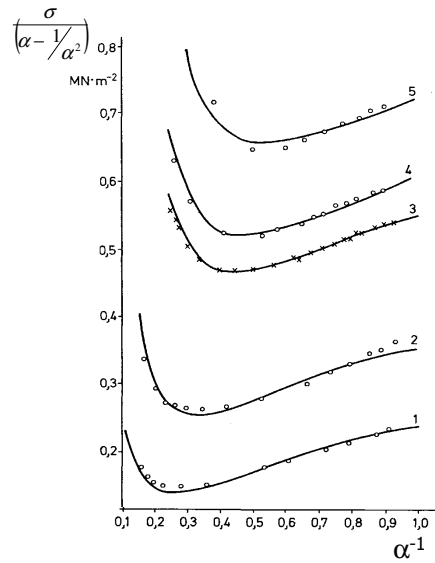
32

V.4.2. Diagrama de Mooney

$$\sigma = \left(2C_1 + \frac{2C_2}{\alpha} \right) \left(\alpha - \frac{1}{\alpha^2} \right)$$



PDMs com diferentes densidades de reticulação



Borracha natural com diferentes densidades de reticulação

33

Bibliografia

U.W. Gedde. *Polymer Physics*, Chapman & Hall, London, 1996.

L.H. Sperling, *Introduction to Physical Polymer Science*, John Wiley & Sons, New York, 2006.

P.J. Flory, *Principles of Polymer Chemistry*, Cornell University Press, Ithaca, 1986.

J.E. Mark, "The Rubber Elastic State" em J.F. Mark, A Eisenberg, W.W. Graessly, L. Mandelkern, E.T. Samulski, J.L. Koenig, G.D. Wignall, eds., "Physical Properties of Polymers", ACS, Washington, 1993, pag. 145.

34